

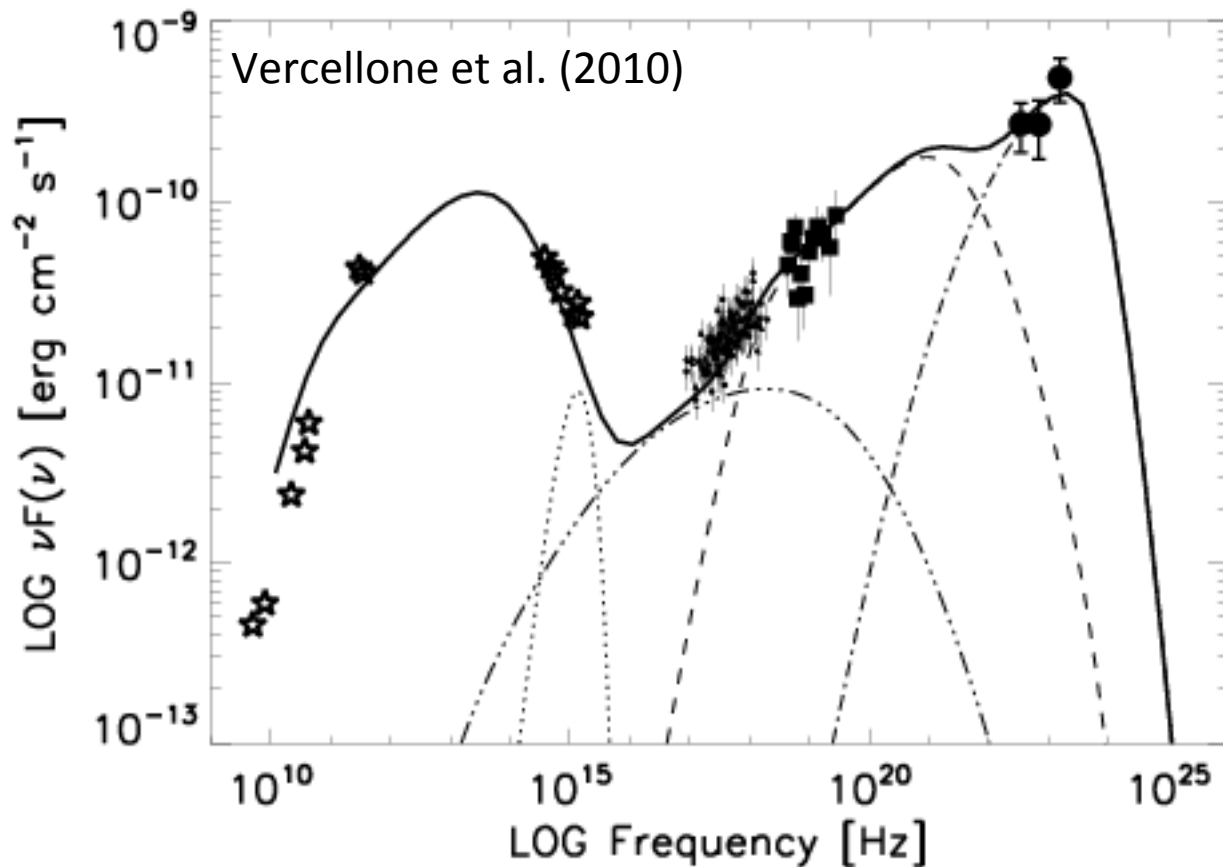
# Decomposing optical flux variation in 3C 454.3

木曾シユミットシンポジウム@150714  
東工大 河合研 橘優太朗

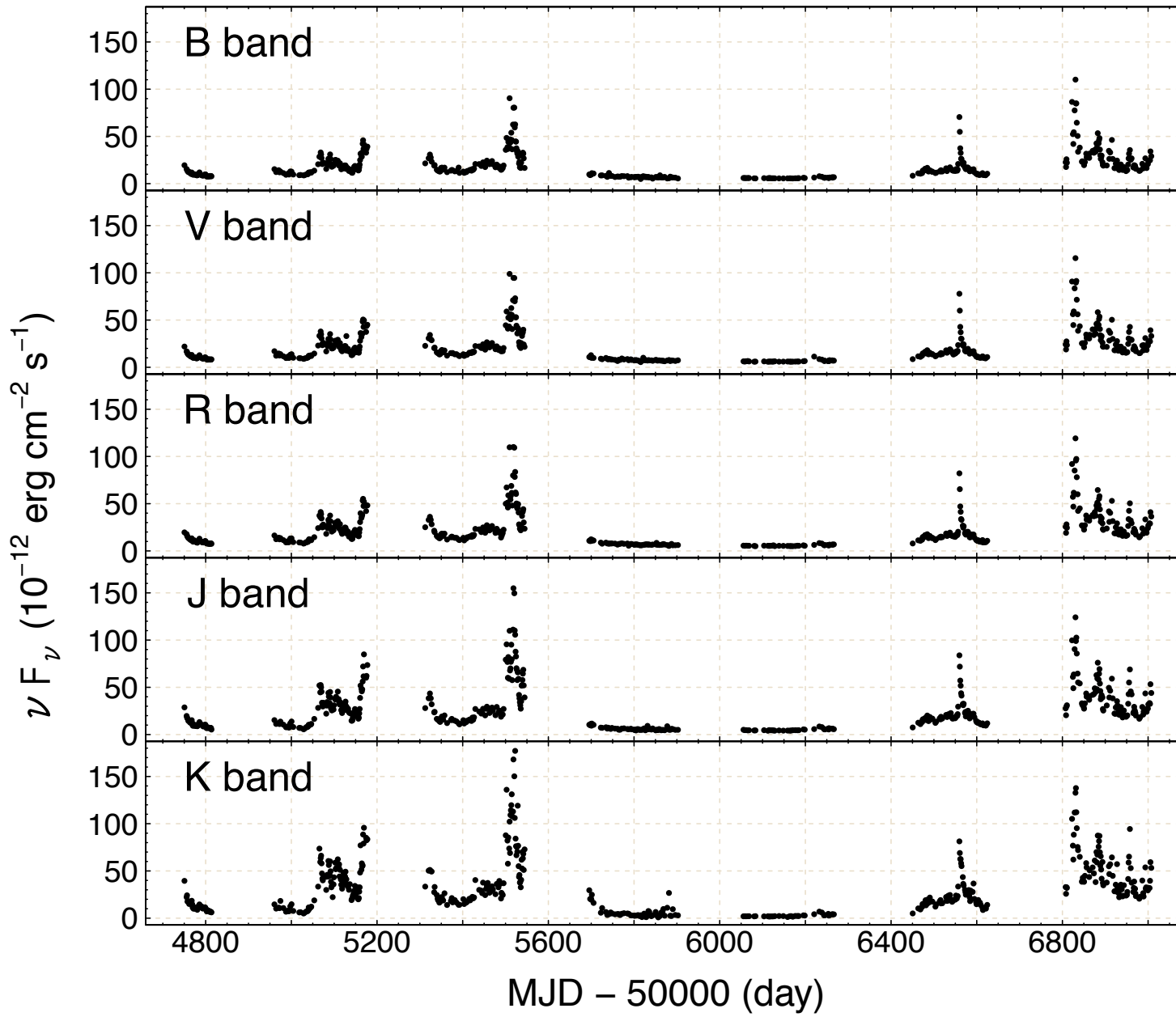
# 3C454. 3

(RA, DEC) = (343.490, 16.1480), type : QSO,  $z=0.859$

black hole mass =  $5 \times 10^8 M_{\odot}$

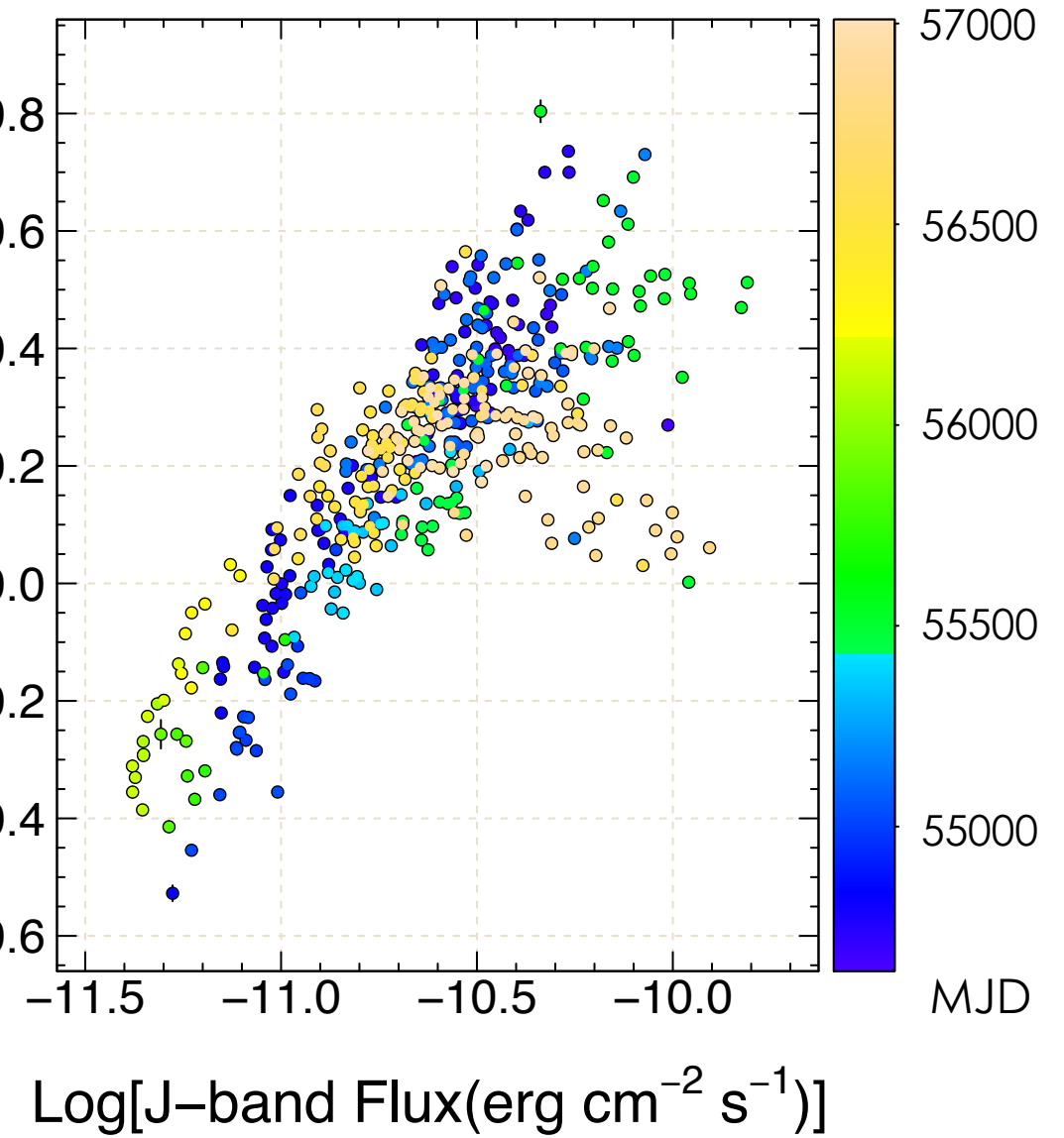


# light curves



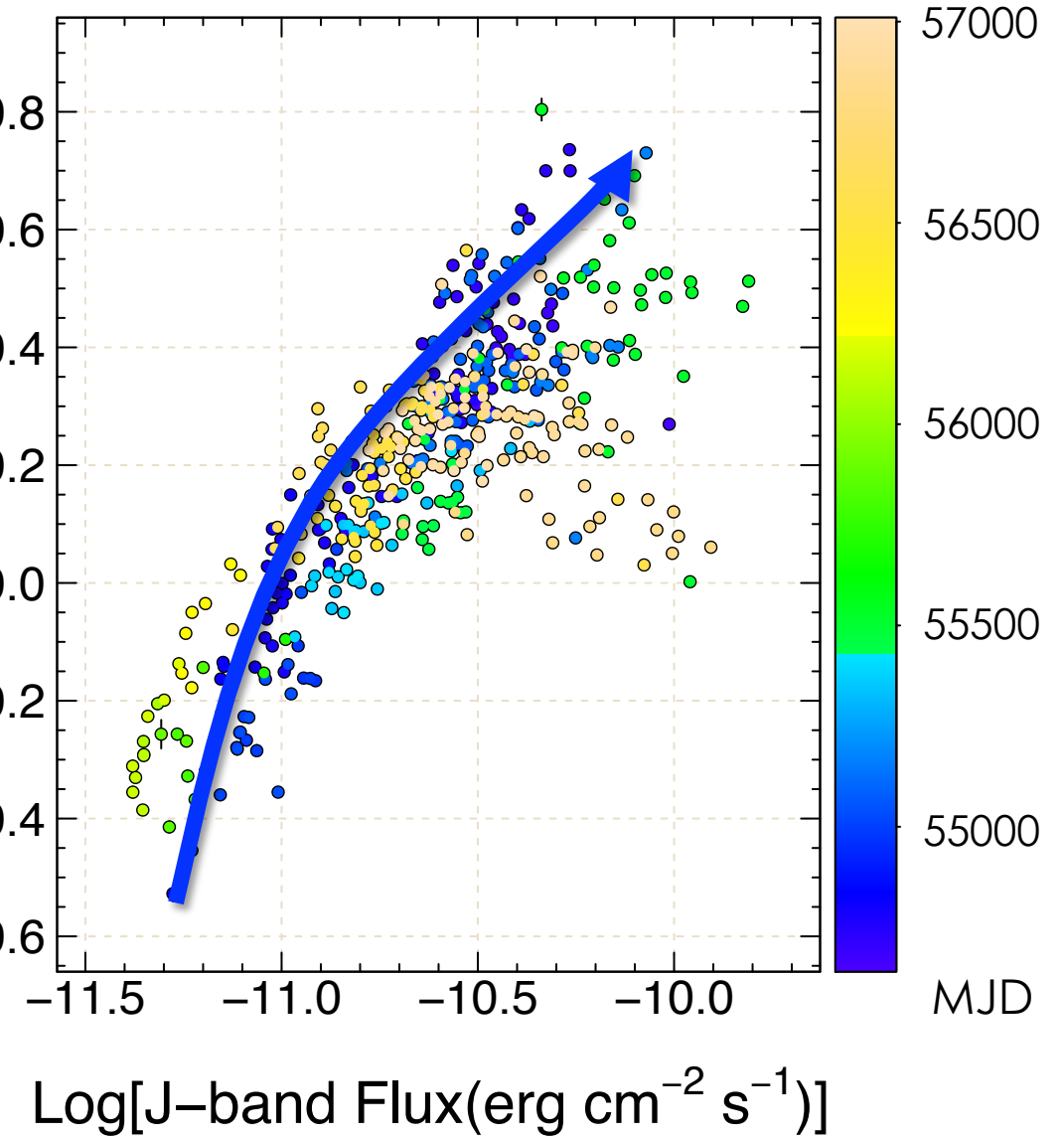
# color magnitude diagram

spectral index between J and R



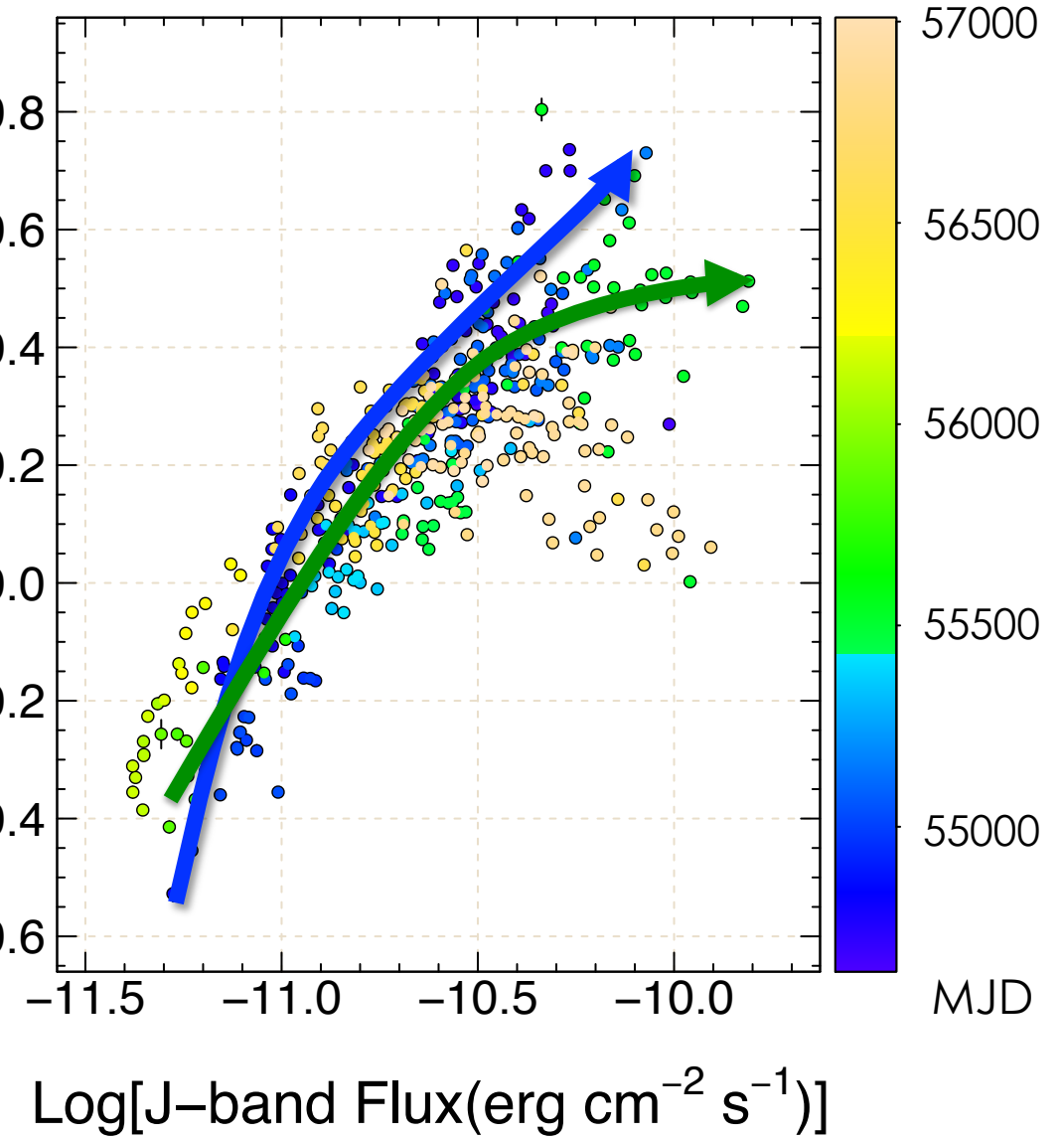
# color magnitude diagram

spectral index between J and R



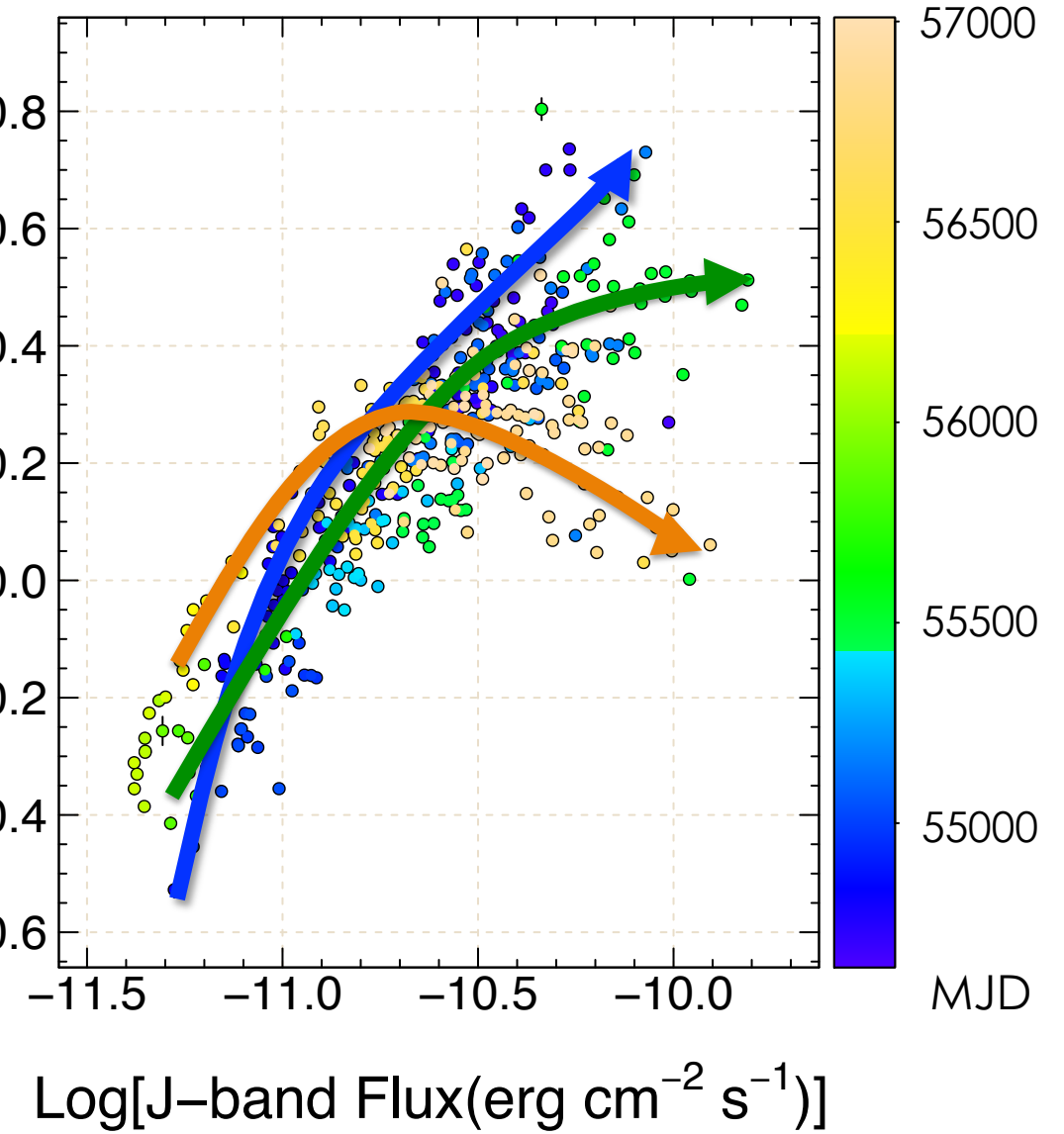
# color magnitude diagram

spectral index between J and R



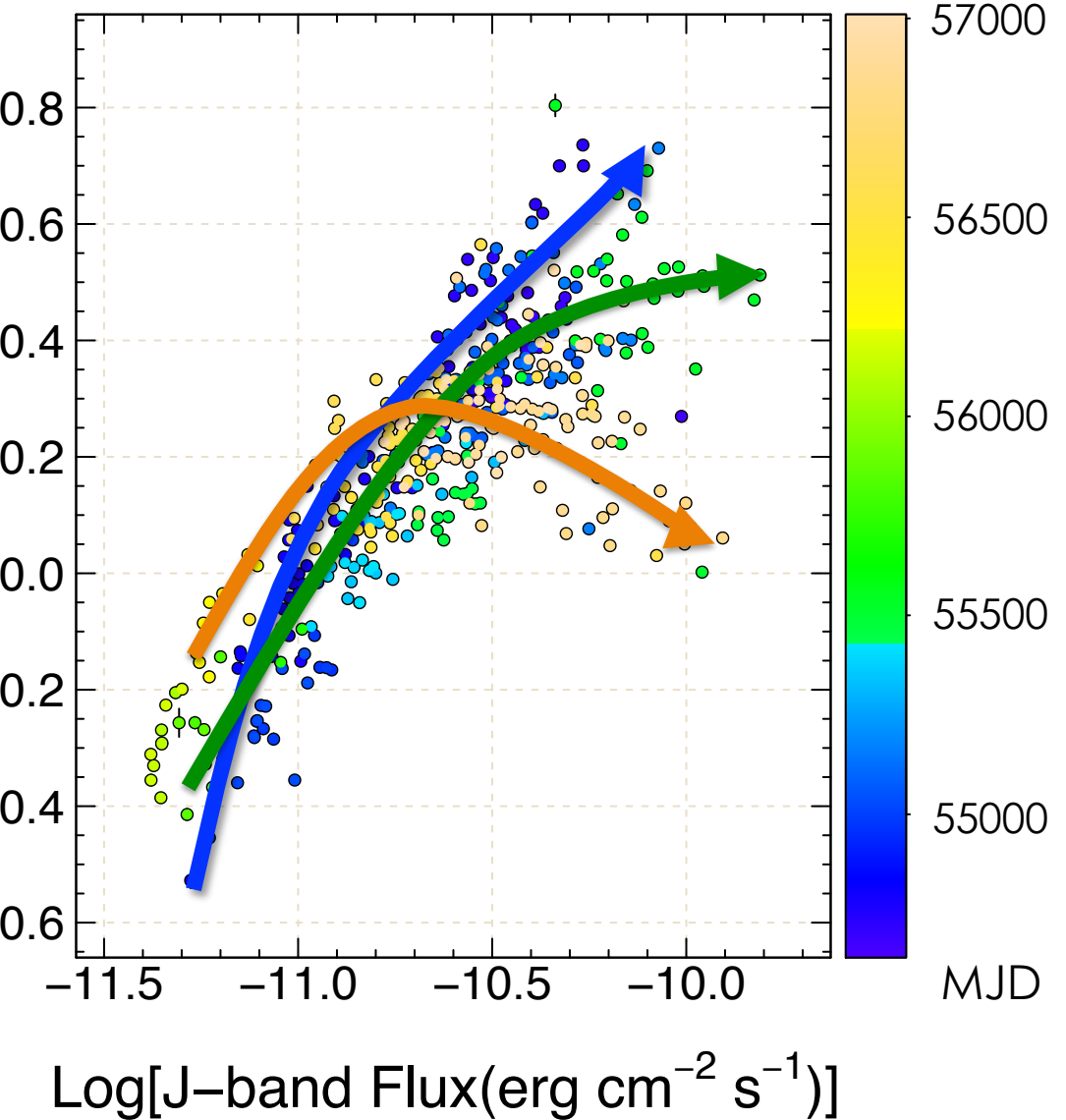
# color magnitude diagram

spectral index between J and R



# color magnitude diagram

spectral index between J and R

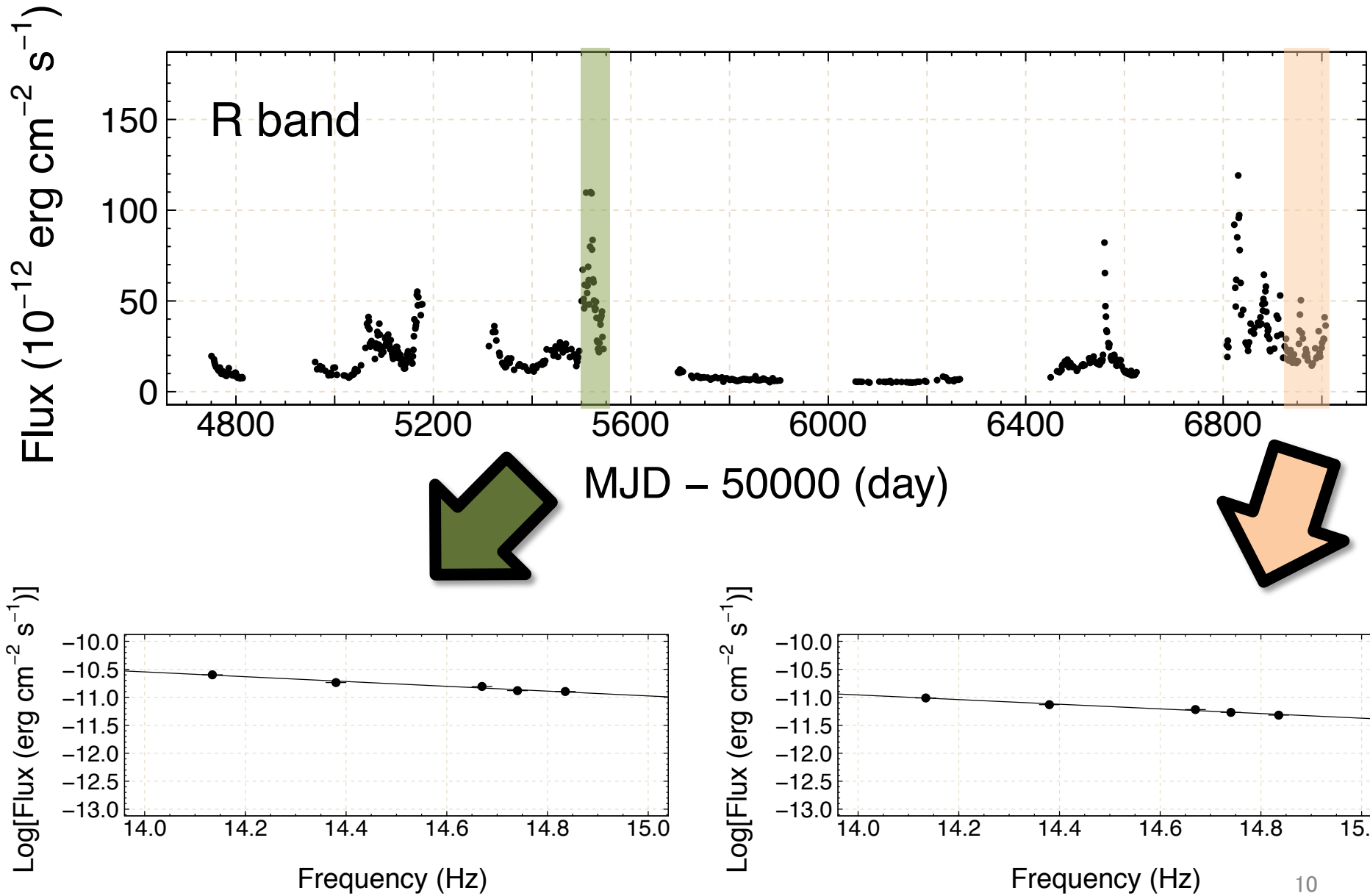


- MJD~56000まで(青,緑)は  
“redder when brighter”
- MJD~56500から(橙)は  
“redder when brighter”  
↓  
“bluer when brighter”
- 何かしらの放射成分がが長  
期的な傾向として変化して  
いる?  
↓  
成分を分離して原因を探る!

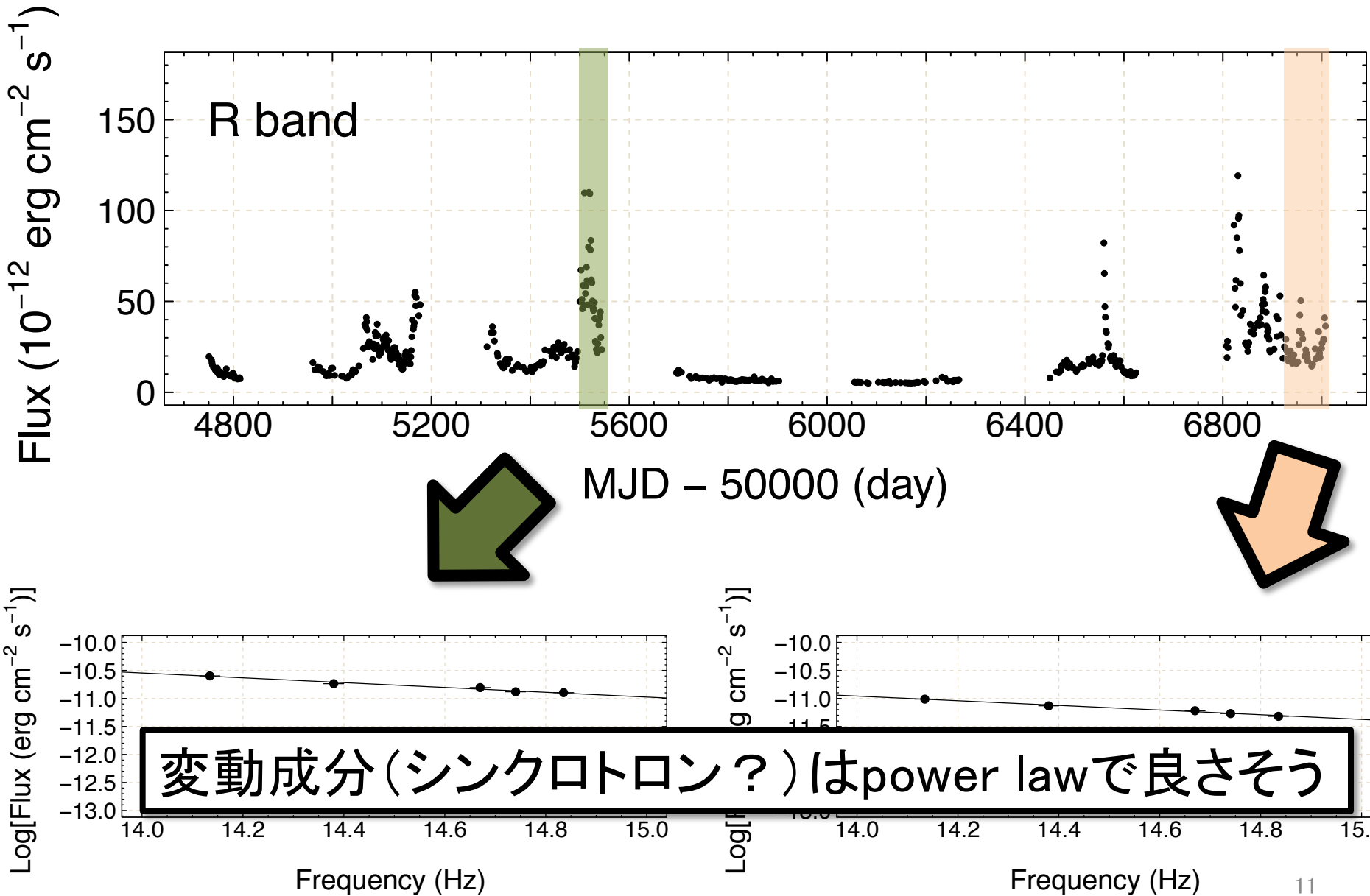
## variable component

まず変動成分を考える

# SEDs of the variable component

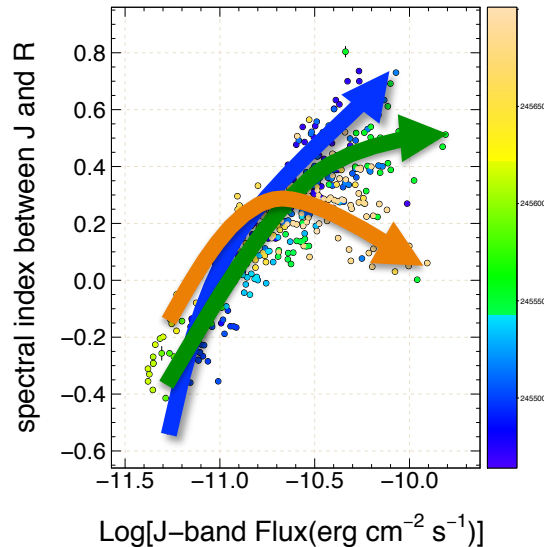
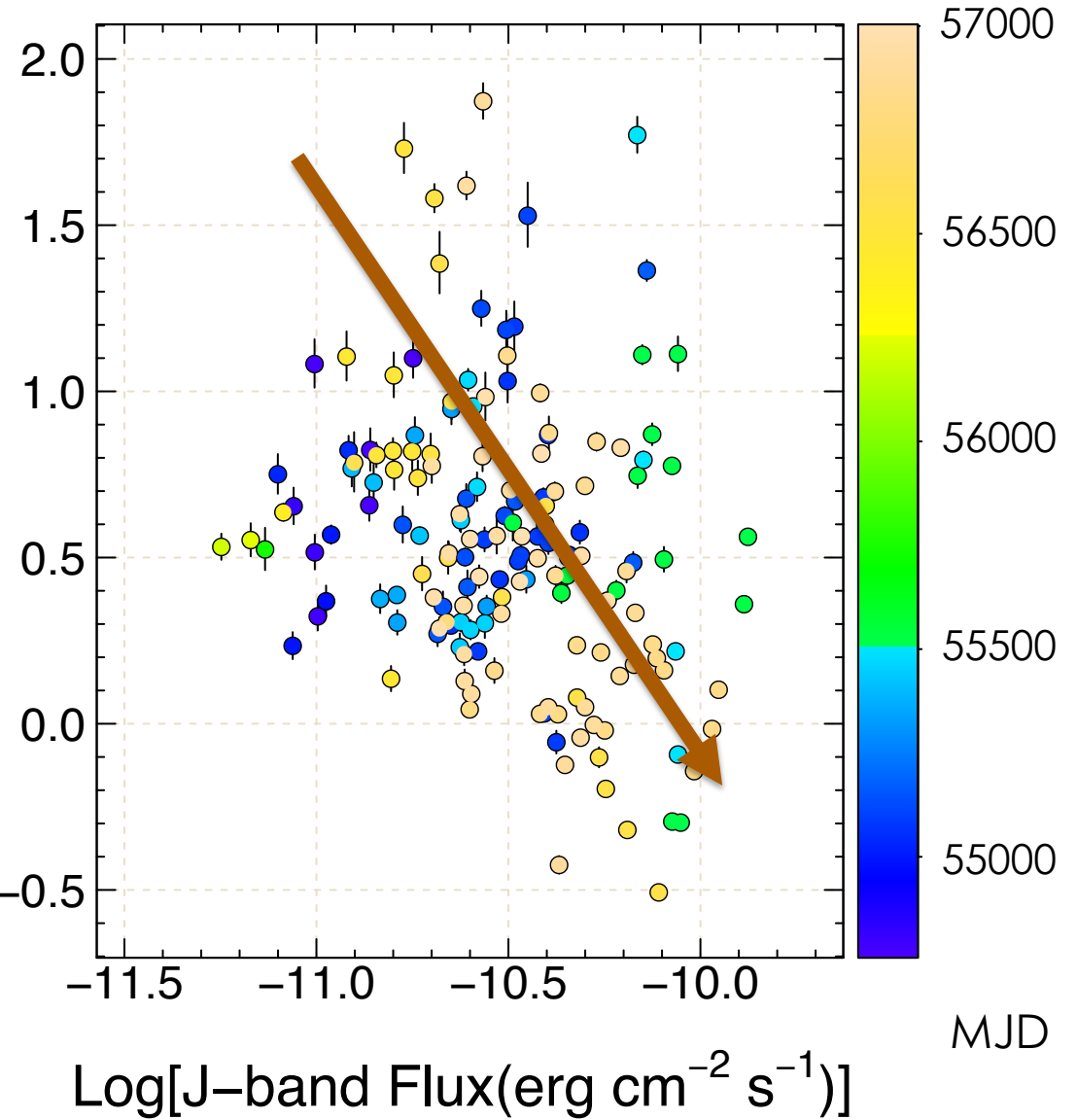


# SEDs of the variable component



# color magnitude diagram of the variable component

spectral index between J and R



- 全期間を通して  
“bluer when brighter”
- 最近の方が色が青い?  
↑  
フレアの色が全体的に青くなつた事が傾向の変化の原因か?

## stable component

次に定常成分を考える

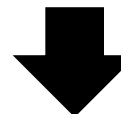
# Modeling the optical variation

- 可視光変動のモデル化

$$F(v, t) = A(t) \times v^{-\alpha(t)} + C(v)$$

- 2色間の相関関係

$$F(v_2, t) = (v_1/v_2)^{\alpha(t)} \times F(v_1, t) + \{C(v_2) - (v_1/v_2)^{\alpha(t)} \times C(v_1)\}$$

 時間平均

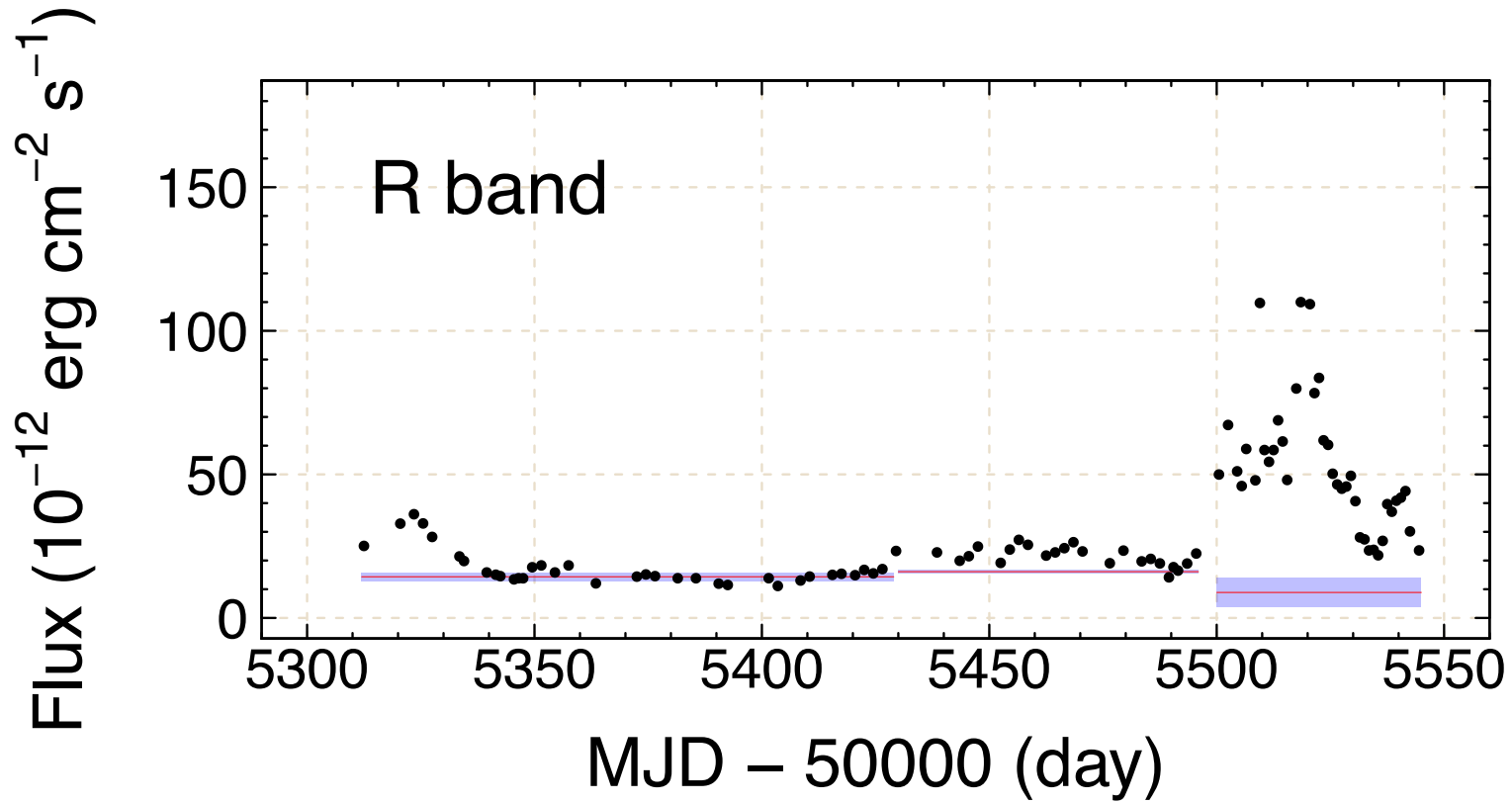
$$\langle F(v_2, t) \rangle = (v_1/v_2)^{\langle \alpha(t) \rangle} \times \langle F(v_1, t) \rangle + \{C(v_2) - (v_1/v_2)^{\langle \alpha(t) \rangle} \times C(v_1)\}$$

- $\langle F(v_1, t) \rangle$ ,  $\langle F(v_2, t) \rangle$ : 観測から求められる
- $\langle \alpha(t) \rangle$ : 差分SEDの時間平均から求められる

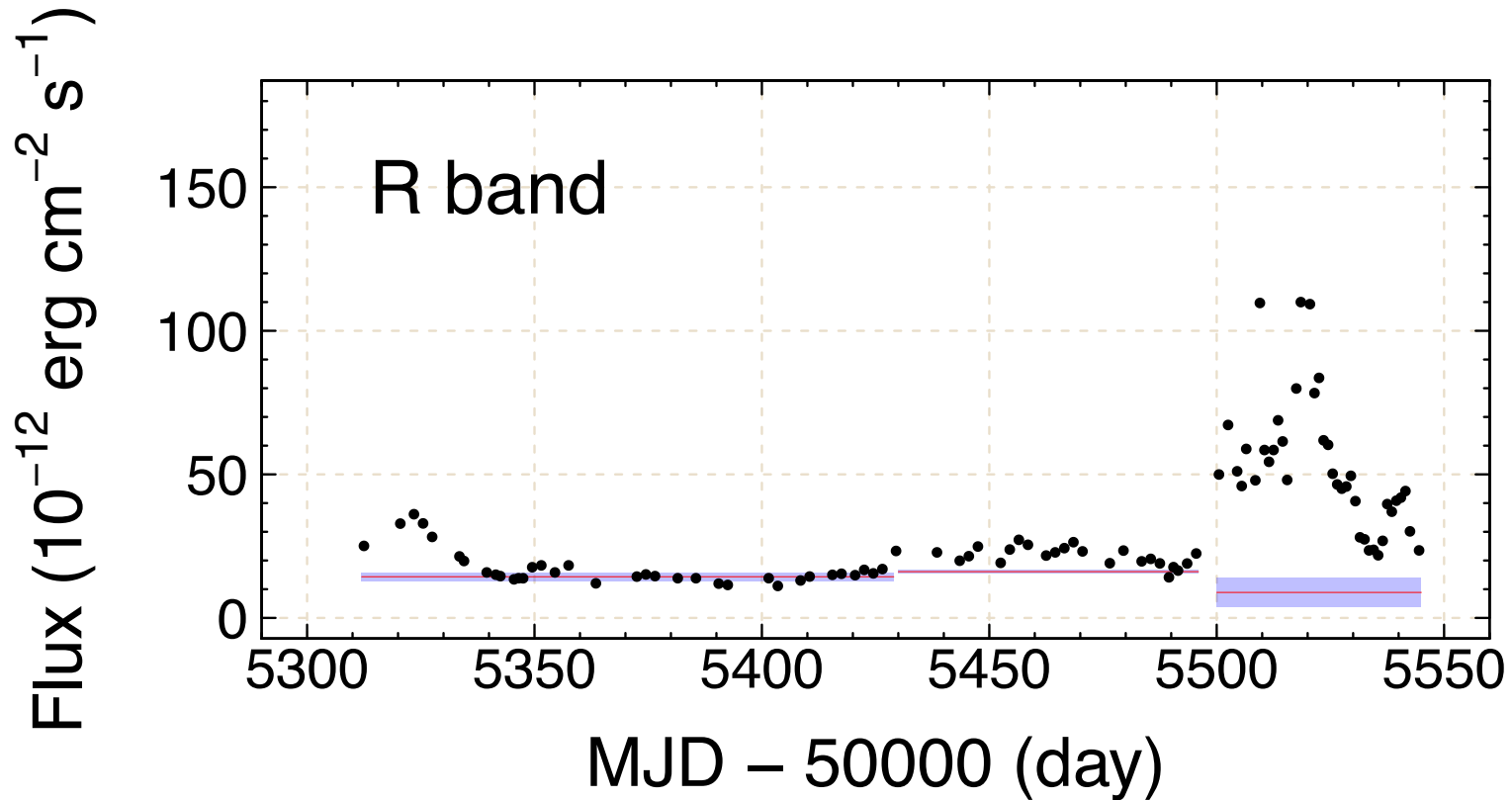
$$\text{if } \{C(v_2) - (v_1/v_2)^{\langle \alpha(t) \rangle} \times C(v_1)\} \sim \langle C \rangle \times \{1 - (v_1/v_2)^{\langle \alpha(t) \rangle}\}$$

$$\langle C \rangle \sim \{\langle F(v_2, t) \rangle - (v_1/v_2)^{\langle \alpha(t) \rangle} \times \langle F(v_1, t) \rangle\} / \{1 - (v_1/v_2)^{\langle \alpha(t) \rangle}\}$$

# flux of the stable component

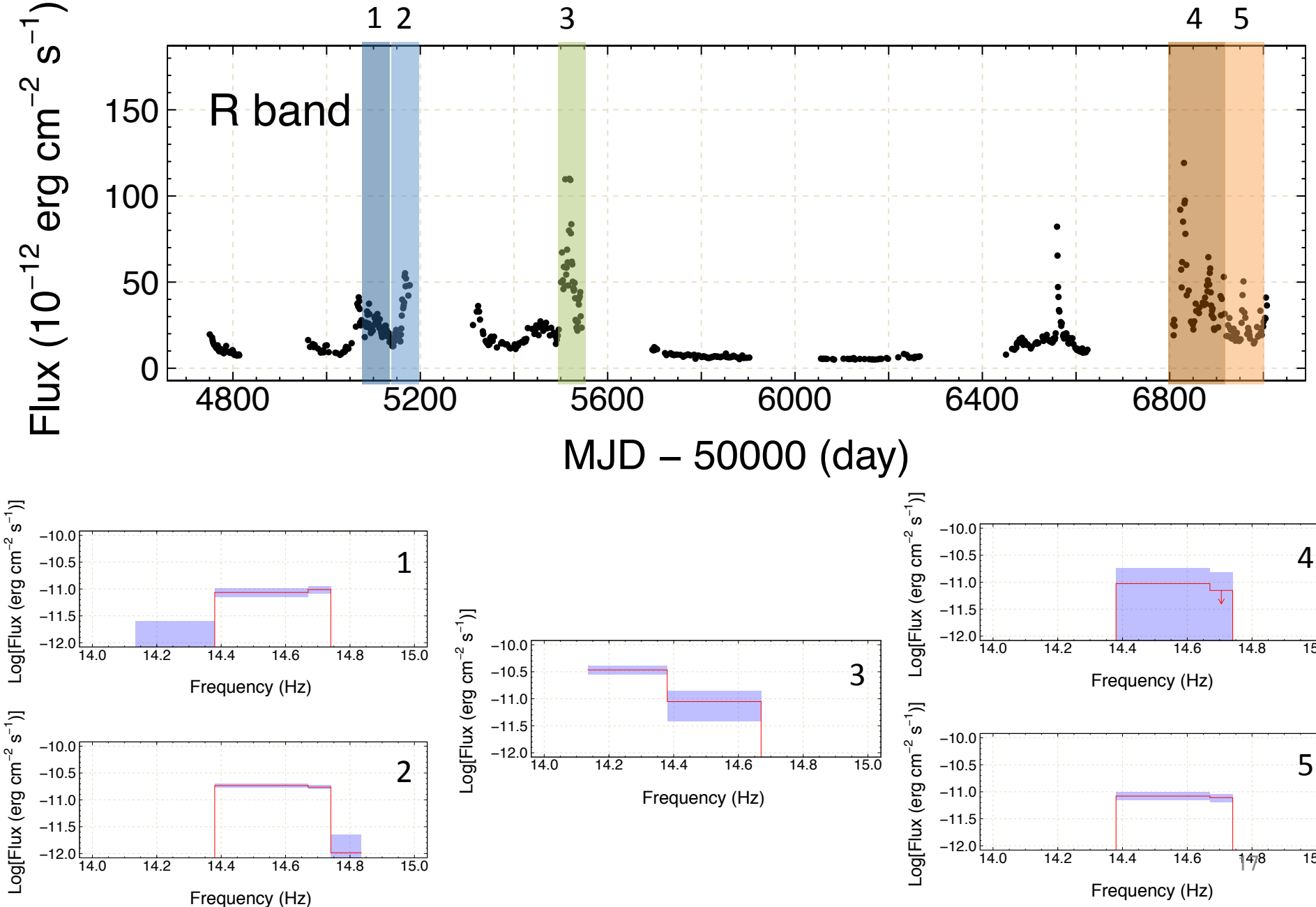


# flux of the stable component

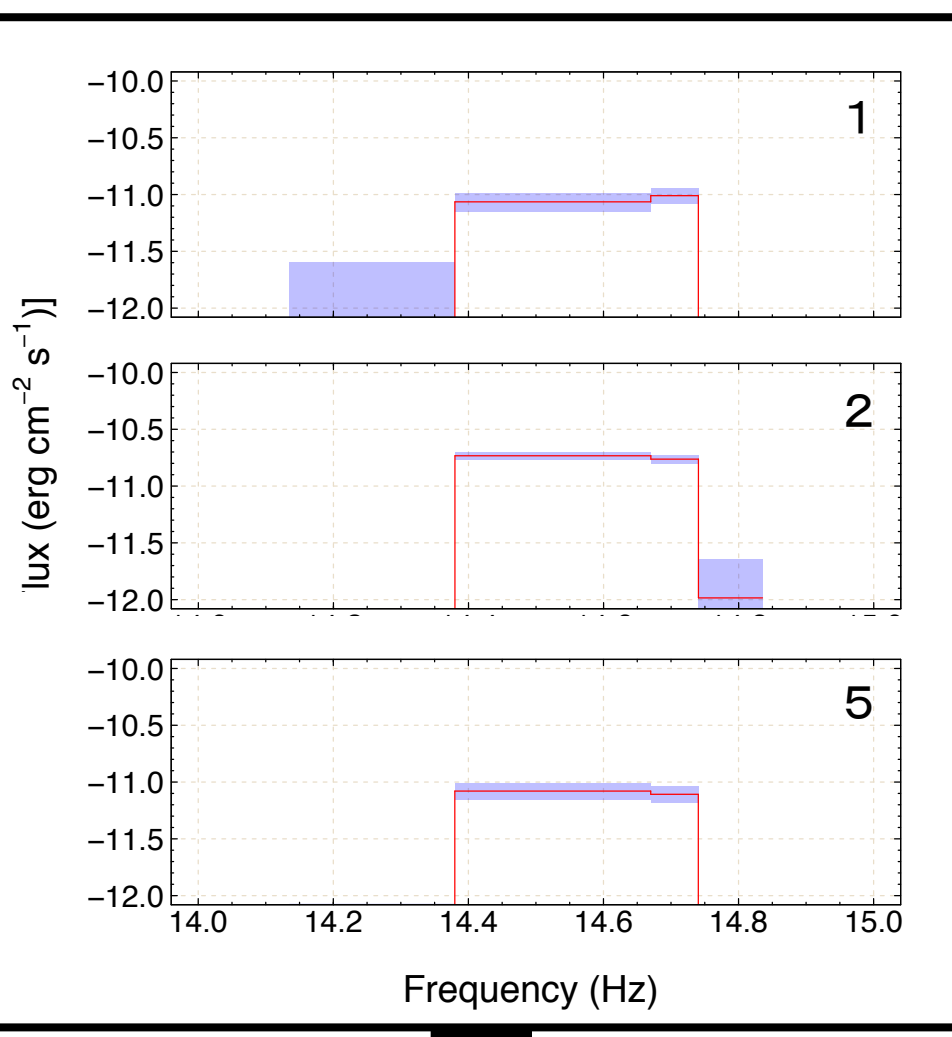


悪くない推測ができている(ように見える)。

# SEDs of the stable component

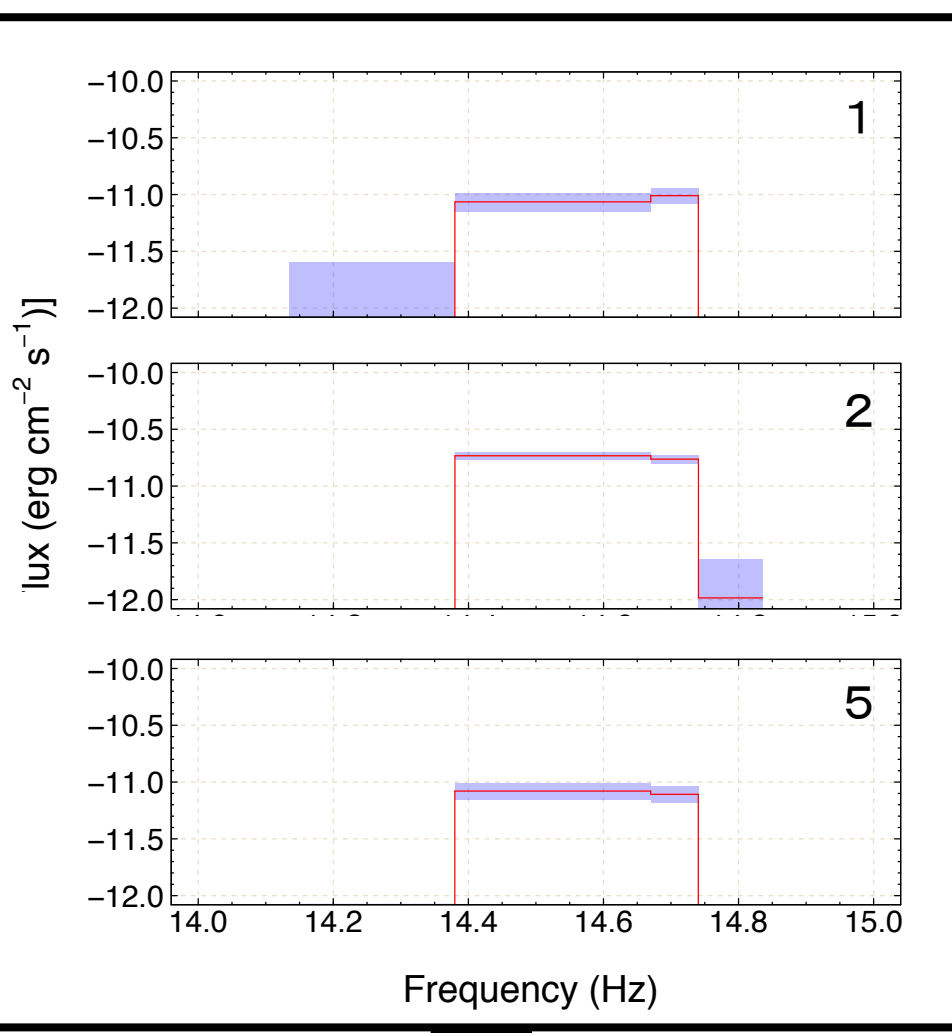


# SEDs of the stable component



↓  
降着円盤？

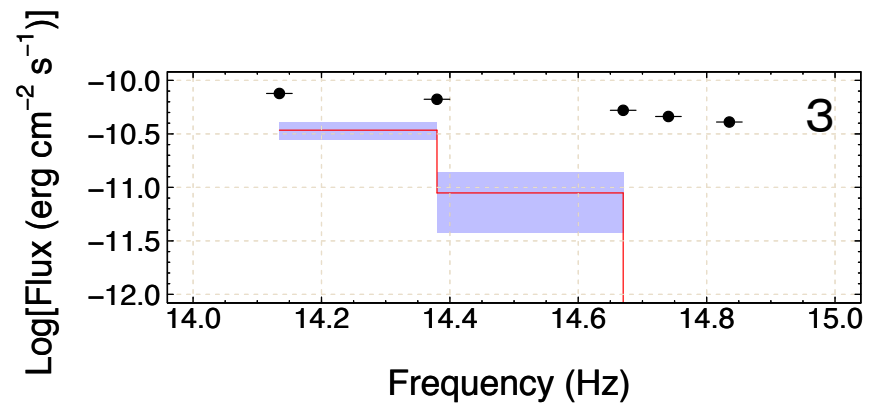
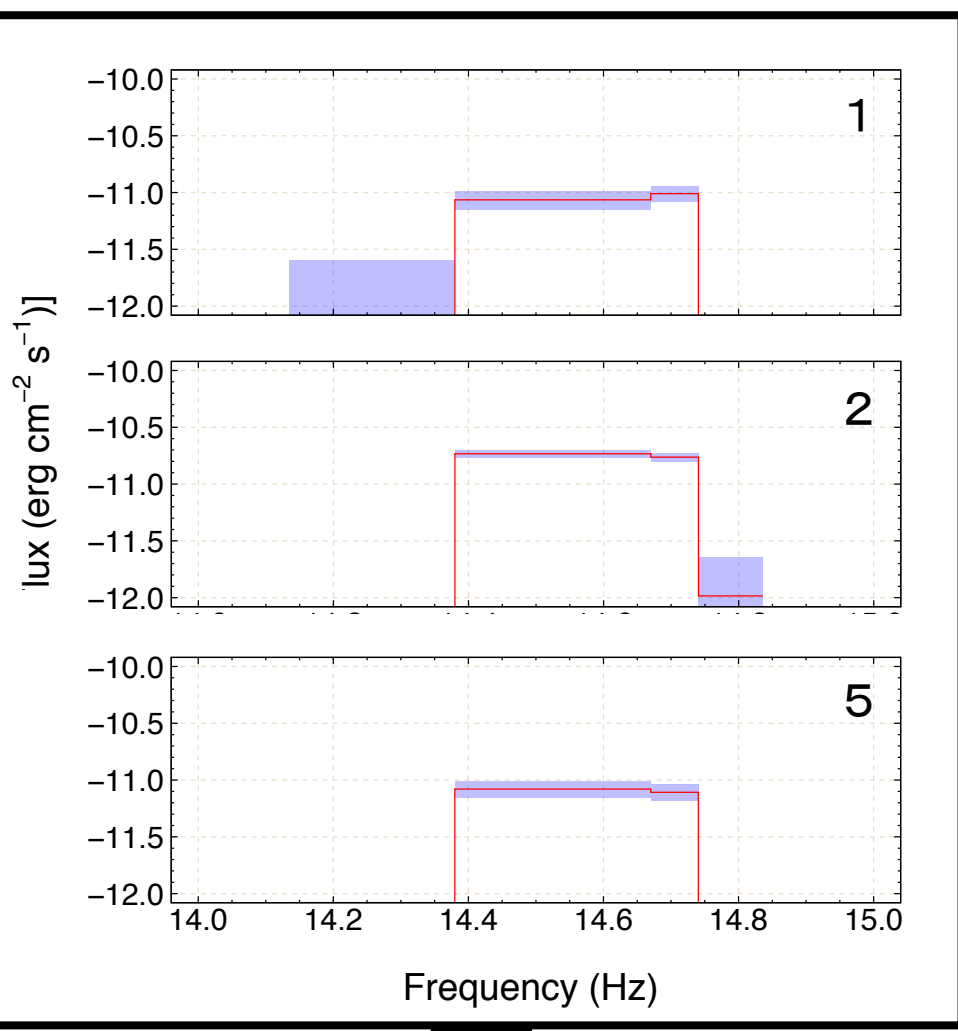
# SEDs of the stable component



↓  
降着円盤？

数年前と比べて降着円盤が少し暗くなっている？

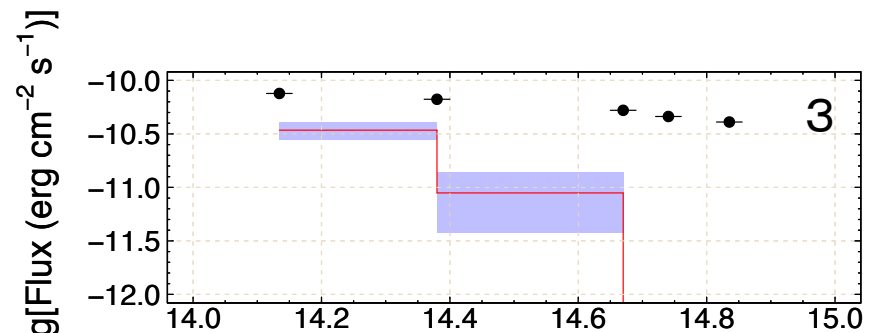
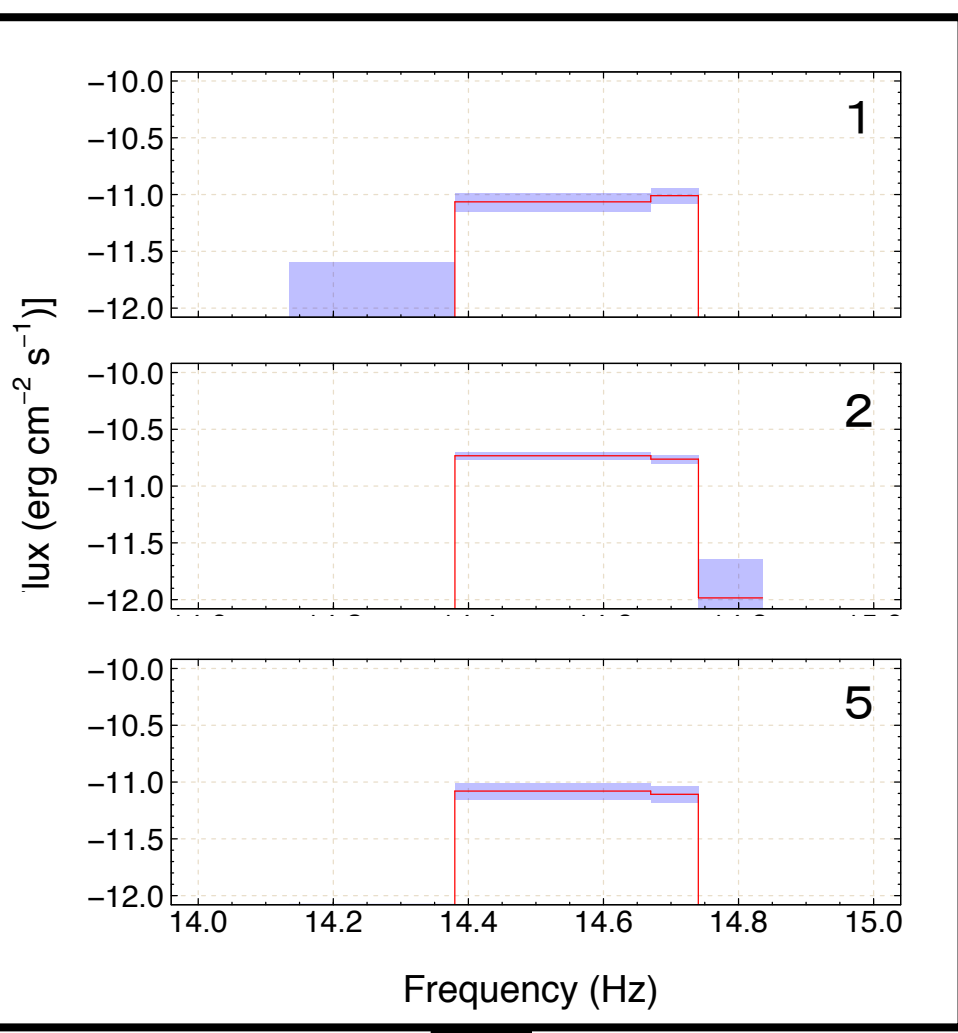
# SEDs of the stable component



降着円盤？

数年前と比べて降着円盤が少し暗くなっている？

# SEDs of the stable component

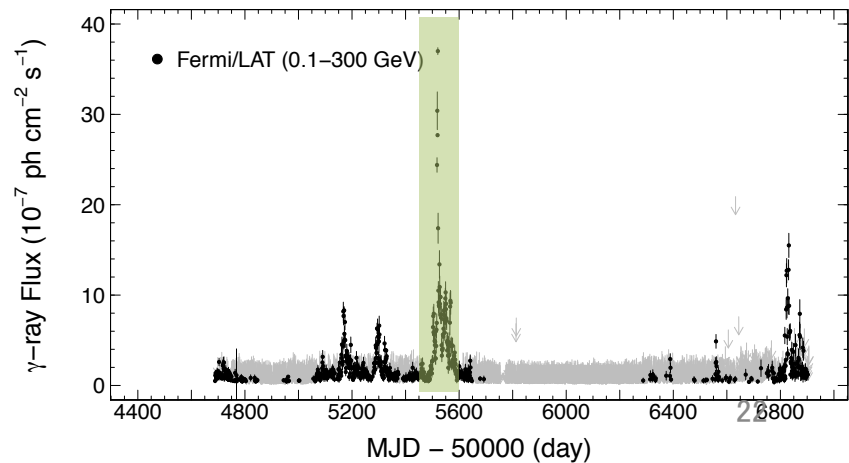
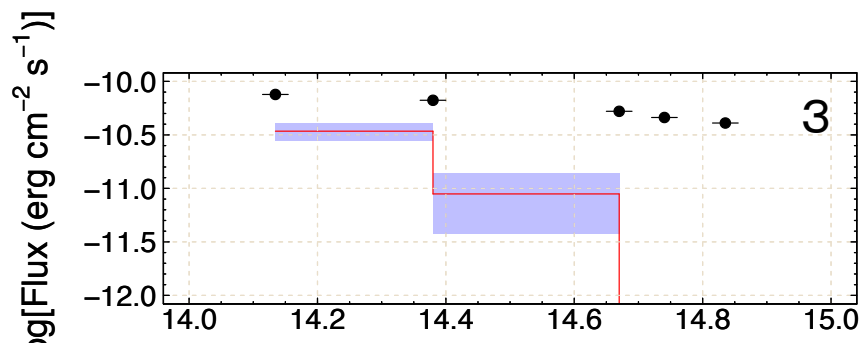
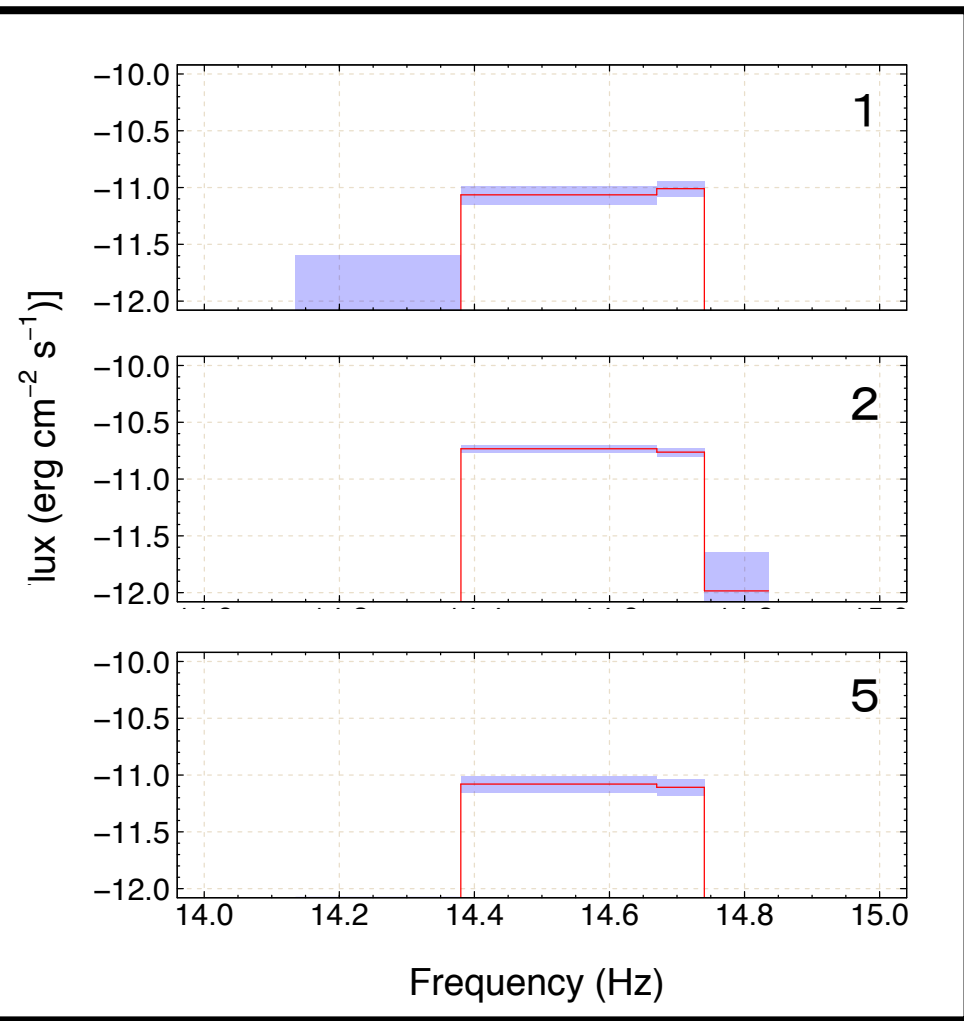


? ? ? ?

降着円盤？

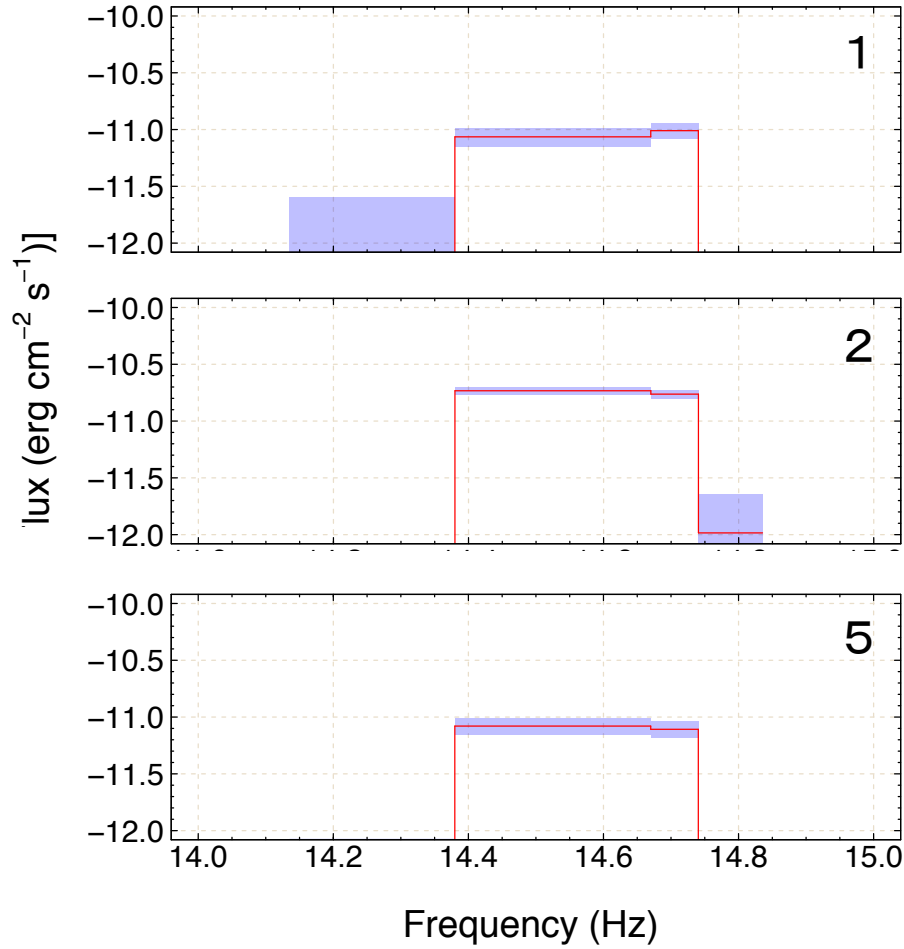
数年前と比べて降着円盤が少し暗くなっている？

# SEDs of the stable component



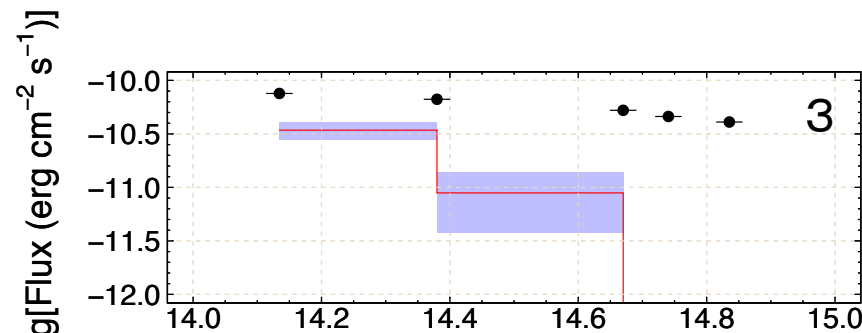
数年前と比べて降着円盤が少し暗くなっている?

# SEDs of the stable component

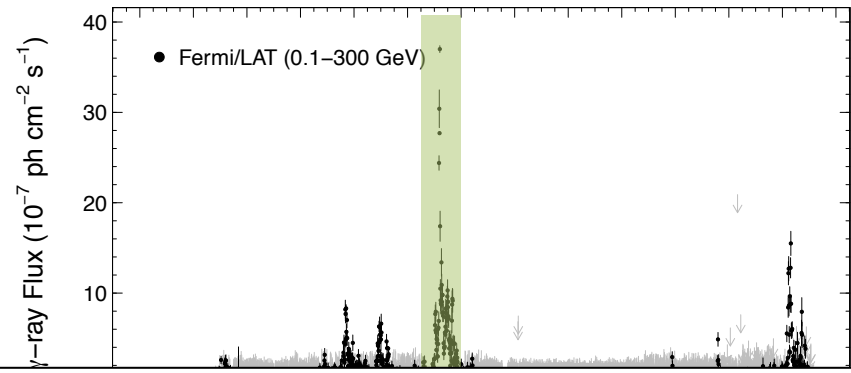


降着円盤？

数年前と比べて降着円盤が少し



? ? ? ?



ガンマ線の巨大フレアと何か関係がある？

## summary

- 可視光の変動をモデル化する事で、変動成分と定常成分の分離を行い、長期的な状態変化の調査を行った。
- color magnitude diagram の傾向の変化は、降着円盤が徐々に暗くなった事と、シンクロトロン成分が全体として徐々に青くなっている事が原因？
- 様々な仮定に基づく解析のため、今後解析手法の妥当性の検証とその評価(定常成分の変動成分への漏れ込みなど)を行い、得られた解析結果に対して物理的な解釈を行う。

木曾で広い可視SEDを深いupper limitで観測できるのは非常に魅力的。  
+ MITSuME や SMART と合わせる事でintradayのSEDの変動を詳細に調査できる可能性。

